

AKADEMIA GÓRNICZO-HUTNICZA

WYDZIAŁ INFORMATYKI
KIERUNEK INFORMATYKA



METODY OBLICZENIOWE W NAUCE I TECHNICE

Laboratorium 6

Kwadratury

Wojciech Michaluk, Kyrylo Iakymenko

Kraków, 12 kwietnia 2024

1 Wprowadzenie

Celem zadań w ramach tego laboratorium jest wykorzystanie metod całkowania numerycznego do obliczenia przybliżonej wartości liczby π oraz porównanie różnych kwadratur złożonych. W pierwszym zadaniu wykorzystujemy znaną równość:

$$\int_0^1 \frac{4}{1+x^2} dx = \pi.$$

Przeanalizujemy, jak zmiana liczby ewaluacji funkcji podcałkowej $f(x) = \frac{4}{1+x^2}$ oraz krok h wpływa na dokładność obliczeń na przykładzie *metody prostokątów* (midpoint), *metody trapezów* i *metody Simpsona*, porównując również empiryczne rzędy zbieżności z teoretycznymi wartościami.

W drugim zadaniu obliczamy wspomnianą całkę metodą Gaussa-Legendre'a. Wiedząc, że jej wartość wynosi π , analogicznie jak w zadaniu **pierwszym**, wyznaczamy błąd względny metody w zależności od liczby ewaluacji funkcji. Następnie, przedstawiamy wyniki na wykresie wspólnie z wykresami błędów metod z poprzedniego zadania.

2 Zadanie 1

2.1 Opis zadania

Do obliczenia tej całki wykorzystujemy trzy metody całkowania numerycznego:

1. złożoną kwadraturę otwartą prostokątów (metoda mid-point),
2. złożoną kwadraturę trapezów,
3. oraz złożoną kwadraturę Simpsona - metoda ta jest skuteczną techniką numeryczną, która pozwala na przybliżone obliczenie wartości całki, szczególnie w przypadku funkcji, dla których nie ma znanej całki analitycznej.

Złożone kwadratury charakteryzują się tym, że dzielimy nasz rozważany przedział $[0; 1]$ na pewną liczbę podprzedziałów, a w każdym z nich liczymy wartość korzystając z odpowiedniej metody prostej, następnie dodajemy te wartości, żeby uzyskać finalny wynik. Dla podprzedziału $[a_i, b_i]$ wzory kwadratur prostych wyglądają następująco:

- metoda prostokątów $\rightarrow \int_{a_i}^{b_i} f(x) dx \approx f(\frac{a_i+b_i}{2}) \cdot (b_i - a_i)$
- metoda trapezów $\rightarrow \int_{a_i}^{b_i} f(x) dx \approx \frac{1}{2}[f(a_i) + f(b_i)] \cdot (b_i - a_i)$
- metoda Simpsona $\rightarrow \int_{a_i}^{b_i} f(x) dx \approx \frac{1}{6}(b_i - a_i)[f(a_i) + 4f(\frac{a_i+b_i}{2}) + f(b_i)]$

Następnie wyznaczamy wartość bezwzględnego błędu względnego dla każdej z tych metod w zależności od liczby ewaluacji funkcji podcałkowej, która wynosi $n + 1 = 2^m + 2$ dla $m = 1, 2, \dots, 25$. Zaprezentujemy wyniki na wspólnym wykresie, korzystając z logarytmicznej skali na obu osiach oraz je przeanalizujemy.

2.2 Opracowanie zadania

Zacniemy od zdefiniowania badanych funkcji. W metodzie trapezów i w metodzie Simpsona korzystamy z bibliotecznych funkcji `trapz` oraz `sims` z pakietu `scipy.integrate`.

- Kwadratura otwarta prostokątów:

```
def midpoint_rule(f, a, b, m):
    h = (b - a) / m
    nodes = np.linspace(a + h / 2, b - h / 2, m)
    return h * np.sum(f(nodes)) # f to funkcja podcałkowa
```

Listing 1: Implementacja metody prostokątów

- Metoda trapezów:

```
def trapezoidal_rule(f, a, b, m):
    x = np.linspace(a, b, m)
    y = f(x)
    return trapz(y, x)
```

Listing 2: Implementacja metody trapezów

- Metoda Simpsona:

```
def simpsons_rule(f, a, b, m):
    x = np.linspace(a, b, m)
    y = f(x)
    return simps(y, x)
```

Listing 3: Implementacja metody Simpsona

W poniższej tabeli pokazujemy częściowe wyniki aproksymacji naszej całki:

m	Midpoint Rule	Trapezoidal Rule	Simpson's Rule
1	3.150849	3.100000	3.133333
2	3.144926	3.131176	3.141569
3	3.143293	3.136963	3.141592
4	3.142621	3.138988	3.141593
5	3.142281	3.139926	3.141593
6	3.142086	3.140435	3.141593
7	3.141963	3.140742	3.141593
8	3.141881	3.140942	3.141593
9	3.141823	3.141078	3.141593
10	3.141782	3.141176	3.141593
11	3.141750	3.141248	3.141593
12	3.141726	3.141303	3.141593
13	3.141707	3.141346	3.141593
14	3.141692	3.141380	3.141593

Tabela 1: Wartości przybliżenia całki dla wszystkich metod dla początkowych wartości m .

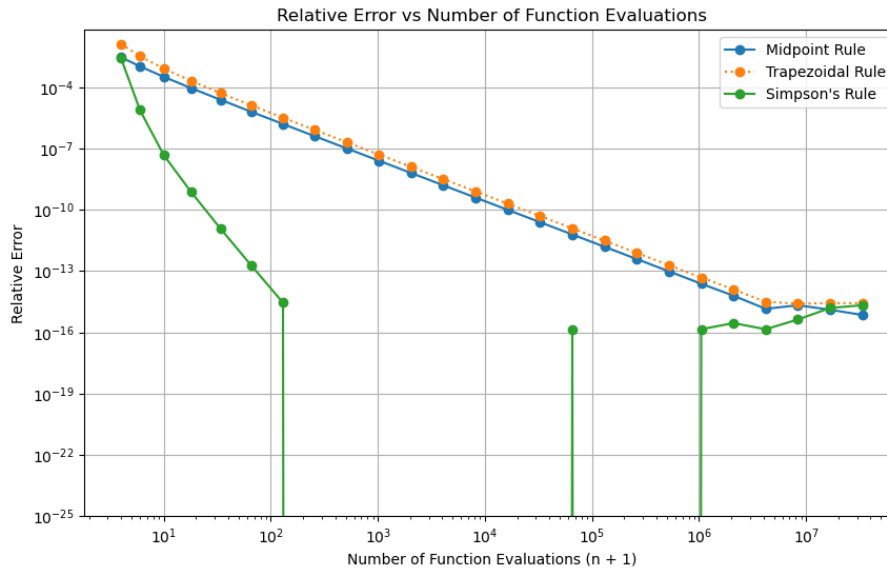
Nawet na oko widać, że metoda Simpsona jest najbardziej dokładna. Nawet dla $m = 1$ metoda Simpsona jest dokładniejsza w porównaniu do innych metod, a od $m = 4$ pierwsze 6 cyfr po przecinku się nie zmienia.

Teraz policzmy błędy względne naszych metod.

```
def relative_error(approx_val, actual_val):
    return np.abs((actual_val - approx_val) / actual_val)
```

Listing 4: Obliczanie błędu względnego

Przedstawiamy wyniki poniżej na wykresie w zależności od $n + 1 = \frac{1}{h} + 1$ liczby ewaluacji funkcji w naszej metodzie liczenia całki.



Rysunek 1: Błąd względny metod numerycznego całkowania w zależności od liczby ewaluacji funkcji

Na wykresie widać oczywiste podobieństwo błędów metod prostokątów i trapezów. Wykresy ich błędów są w zasadzie nierozróżnialne. Wyróżnia się w naszym porównaniu metoda Simpsona. Szybciej zbiega do wartości bliskich zera i jako jedyna osiąga wartość 0 (co oznacza, że jej dokładność dla pewnej liczby ewaluacji byłaby większa od precyzji float64). Nie widzimy dokładnie wartości 0 ze względu na skalę logarytmiczną. Można by było użyć argumentu *symlog* przy ustawianiu skali na osi Y, ale sprawdziliśmy tę opcję i zmniejsza ona czytelność wykresu - stąd pozostajemy przy tym podejściu.

Teraz wyznaczmy wartości h_{min} , czyli największe wartości h , dla których błąd osiąga swoje minimum, dla wszystkich trzech metod. Z wykresu możemy odczytać pewne przybliżenie wartości n , ale zróbmy to bardziej dokładnie i konkretnie.

```
# funkcja licząca h_min dla podanych danych
def h_min(dataList):
    return 1 / evaluations[np.argmin(dataList)]
```

Listing 5: Wyznaczanie wartości h_{min}

Korzystamy z zależności $h = \frac{1}{n}$. Wyniki przedstawiamy poniżej.

Metoda	h_{min}
Prostokątów	$2.98 \cdot 10^{-8}$
Trapezów	$1.19 \cdot 10^{-7}$
Simpsona	$3.8 \cdot 10^{-3}$

Tabela 2: Wartości h_{min} dla wszystkich badanych metod

Jak można było oczekiwać, analizując wykres metody prostokątów i metody trapezów, mają bardzo podobną wartość h_{min} . Z drugiej strony metoda Simpsona wyróżnia się od innych w lepszą stronę dużo większym h_{min} , potwierdzenie czego można również zobaczyć na wykresie, patrząc na to, jak szybko wartości błędów zbiegają do 0. Oznacza to, że stosując metodę Simpsona, możemy używać dużo większych odstępów h (kilka rzędów większych w porównaniu do innych badanych metod), a co z tego wynika również mniejszej ilości ewaluacji funkcji, żeby uzyskać podobną (w naszym przypadku nawet lepszą) dokładność oszacowania. Nasze uzyskane wartości h_{min} są porównywalne (przynajmniej dla metody prostokątów i trapezów) z wartościami uzyskanymi w laboratorium 1.

Teraz przejdziemy do badania rzędów zbieżności naszych metod. W celu uzyskania dokładniejszej wartości, policzymy je dla wszystkich wartości m i zrobimy analizę uzyskanych wyników.

Empiryczny rząd zbieżności p obliczamy z zależności:

$$E(h) \approx Ch^p \mid \text{logarytmujemy obustronnie}$$

$$\log E(h) \approx \log C + p \log h,$$

gdzie C to pewna stała. Korzystając z tego wzoru dla pewnych dwóch wartości h_1 i h_2 , otrzymujemy $p \approx \frac{\log(\frac{E(h_2)}{E(h_1)})}{\log(\frac{h_2}{h_1})}$.

Staramy się dobrać wartości h_1 i h_2 tak, aby pochodziły one z zakresu, w którym błąd metody przeważa nad błędem numerycznym - żeby wyniki obliczeń miały sens.

Przedstawiamy częściowe wyniki dla metody prostokątów oraz metody trapezów:

m	Rząd zbieżności (metoda prostokątów)	m	Rząd zbieżności (metoda trapezów)
2	2.51907288	2	3.41475228
3	2.3012549	3	2.71374569
4	2.16400672	4	2.35849453
5	2.08586731	5	2.17974635
6	2.04397892	6	2.09001423
7	2.02226184	7	2.04504478
8	2.01120048	8	2.02253214
9	2.00561782	9	2.01126855
10	2.00281333	10	2.00563490
11	2.00140774	11	2.00281761
12	2.00070411	12	2.00140892
13	2.0003523	13	2.00070417
14	2.00017673	14	2.00035273

Tabela 3: Rzędy zbieżności dla metody prostokątów i metody trapezów

Jak widzimy w obu przypadkach, nasz ciąg zmierza do wartości 2, która jest wartością teoretyczną rzędu zbieżności zarówno dla metody prostokątów, jak i dla metody trapezów.

Przechodzimy teraz do metody Simpson'a. Tutaj skorzystamy tylko z pierwszych 6 wartości m (począwszy od 2), gdyż dla kolejnych pojawiają się wartości niedodatnie.

m	Rząd zbieżności (metoda Simpson'a)
2	14.40310177
3	9.92266209
4	7.07294318
5	6.53905148
6	6.27040509
7	6.15800594

Tabela 4: Wartości empirycznego rzędu zbieżności dla metody Simpson'a w zależności od wartości m

Porównując uzyskany ciąg z wartością teoretyczną równą 4, dochodzimy do wniosku, że w naszym przypadku rząd zbieżności metody Simpson'a jest różny od wartości teoretycznej, gdyż w naszym przypadku zbiega raczej do wartości bliskiej 6. Może tak być dlatego, że precyzja obliczeń nie pozwala na sprawdzenie wartości rzędu zbieżności dla kolejnych wartości m . Ale warto zauważyć, że wartości, które możemy zbadać empirycznie cały czas maleją, co może wskazywać na to, że z czasem nasz ciąg rzeczywiście dojdzie do wartości teoretycznej.

3 Zadanie 2

3.1 Opis zadania

W drugiej części zadania, stosujemy metodę Gaussa-Legendre'a do obliczenia wartości tej samej całki. Również analizujemy wartość bezwzględną błędu względnego w zależności od liczby ewaluacji funkcji podcałkowej i porównujemy wyniki z wcześniejszymi metodami.

W metodzie Gaussa-Legendre'a korzystamy z następującego sposobu obliczania całki:

$$\int_{-1}^1 f(\xi) d\xi \approx \sum_{i=1}^n A_i f(\xi_i),$$

gdzie ξ_i to pierwiastki n -tego wielomianu Legendre'a, natomiast A_i to odpowiednie współczynniki, których sposób wyliczenia omawiamy w następnej sekcji. Ponieważ obliczamy całkę w przedziale $[0; 1]$, stosujemy transformację:

$$\int_0^1 f(x) dx \approx \frac{1}{2} \sum_{i=1}^n A_i f(x_i) \text{ dla } x_i = \frac{1}{2} + \frac{1}{2}\xi_i.$$

3.2 Opracowanie zadania

W pierwszym podejściu do rozwiązania zadanego problemu postanowiliśmy ręcznie zaimplementować potrzebne funkcje, co okazało się niemałym wyzwaniem. Istnieje bowiem funkcja biblioteczna `scipy.special.roots_legendre`, która zwraca parę: (pierwiastki wielomianu, szukany wektor wag A). Rozwiązuje ona problem budowania wielomianu Legendre'a i szukania jego pierwiastków, a następnie rozwiązania równania macierzowego w celu znalezienia współczynników wagowych.

Chcąc zaimplementować funkcje samodzielnie, korzystamy z tego, że wielomiany Legendre'a są ortogonalne, co ułatwia dalsze obliczenia. Spełniają one rekurencyjną zależność:

$$\begin{aligned} P_0(x) &= 1 \\ P_1(x) &= x \\ P_{i+1} &= \frac{2i+1}{i+1}xP_i - \frac{i}{i+1}P_{i-1} \text{ dla } i \geq 1, \end{aligned}$$

którą wykorzystamy do wyznaczania ich współczynników.

Przedstawmy kod naszych funkcji:

```
@cache
def legendre_coeffs(i): #obliczanie współczynników wielomianu
    if i == 0: return np.array([1])
    elif i == 1: return np.array([1, 0])
    else:
        lshift = np.concatenate(((2 * i - 1) / i
                                   * legendre_coeffs(i - 1), np.zeros(1)))
        rshift = np.concatenate((np.zeros(2), (i - 1) / i
                                   * legendre_coeffs(i - 2)))
        return lshift - rshift

def legendre_roots(n): #obliczanie pierwiastków wielomianu
    coeffs = legendre_coeffs(n)
    return np.roots(coeffs)

def gauss_legendre(A, roots, n): #obliczanie całki metodą Gaussa - Legendre'a
    transform_roots = 0.5 + 0.5 * roots
    return 0.5 * A @ f(transform_roots)
```

Listing 6: Funkcje pomocnicze do metody Gaussa-Legendre'a

Współczynniki A otrzymujemy, rozwiązując równanie macierzowe:

$$\begin{bmatrix} P_0(x_1) & P_0(x_2) & \cdots & P_0(x_n) \\ P_1(x_1) & P_1(x_2) & \cdots & P_1(x_n) \\ \vdots & \vdots & \ddots & \vdots \\ P_{n-1}(x_1) & P_{n-1}(x_2) & \cdots & P_{n-1}(x_n) \end{bmatrix} \cdot \begin{bmatrix} A_1 \\ A_2 \\ \vdots \\ A_n \end{bmatrix} = \begin{bmatrix} \int_{-1}^1 P_0(x) dx \\ 0 \\ \vdots \\ 0 \end{bmatrix}.$$

W tym przypadku x_i dla $i = 1, 2, \dots, n$ to węzły wielomianu Legendre'a uporządkowane **malejąco**, natomiast wartości 0 w kolumnie po prawej stronie wynikają z ortogonalności. Pierwszy wyraz z kolei sprowadza się do trywialnej całki $\int_{-1}^1 dx = 2$.

Spójrzmy na kod:

```
ns = [5, 10, 50, 100] #przykładowe wartości

for n in ns:
    x = np.flip(np.sort(legendre_roots(n)))

    S = np.array([np.polyval(legendre_coeffs(i), x[j]) for i in range(n)]
                  for j in range(n))
    R = np.concatenate((np.array([2]), np.zeros(n - 1)))
    A = np.linalg.solve(S, R) # SA = R

    value = gauss_legendre(A, x, n)
```

Listing 7: Czy obliczone wartości będą dokładne?

Jak się okazuje, jest wiele problemów, głównie wynikających z użycia funkcji `np.roots`. Oblicza ona pierwiastki wielomianu, bazując na wartościach własnych odpowiadającej wielomianowi macierzy. Powoduje to nie tylko to, że pierwiastki są w "losowej" kolejności (i trzeba je posortować), ale także obliczone wartości są bardzo niedokładne, a dla $n \geq 45$ zaczynają pojawiać się składowe urojone w pierwiastkach. Z tego powodu wyniki znacznie odbiegają od prawidłowej wartości, która wynosi π .

Aby zwrócić uwagę na to ciekawe zjawisko, prezentujemy uzyskane wyniki poniżej.

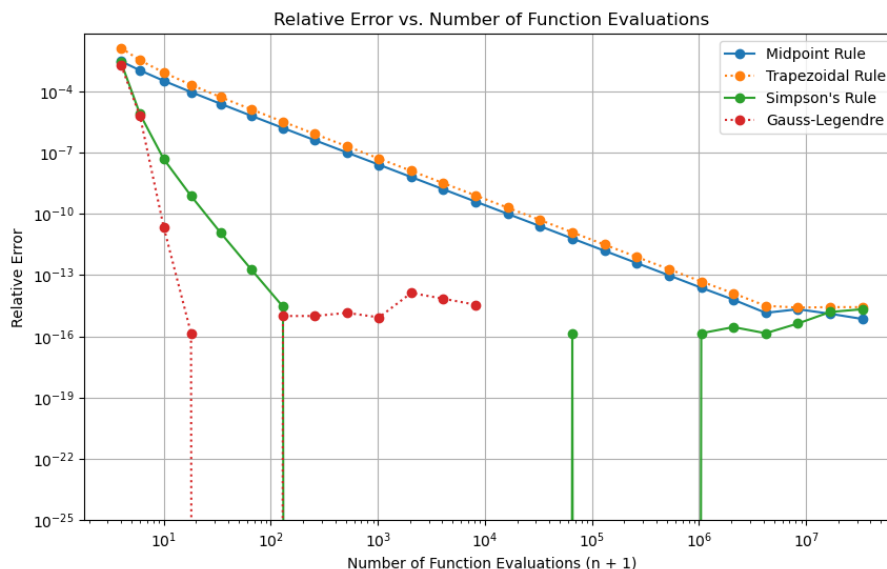
n	Obliczona wartość
5	5.068129
10	5.123556
50	(0.326415 - 0.439230i)
100	$(-2.867405 \cdot 10^{-7} + 1.735485i \cdot 10^{-7})$

Tabela 5: Wyniki dla ręcznej implementacji - niezbyt dokładne!

Korzystając ze wspomnianej funkcji bibliotecznej, obliczenia stają się znacznie prostsze (i dokładniejsze). Dla przykładu, wyniki obliczone dla wartości n z powyższej tabeli są identyczne dla wszystkich n z dokładnością do 6 cyfr po przecinku i wynoszą 3.141593.

Można zauważyć, że w przypadku tej metody dla poprawnej implementacji już dla stosunkowo małych n uzyskuje się zaskakująco dobrą dokładność obliczeń. W celu porównania tego podejścia z metodami z zadania 1, przeprowadzamy obliczenia dla stosunkowo "dużej" liczby węzłów, bo dla 2^m węzłów, gdzie $m = 1, 2, \dots, 13$. Nie przyjmujemy tutaj dokładnie takiego samego zakresu, gdyż dla użytych wartości błąd numeryczny już w pewnym momencie zaczyna przeważać nad błędem metody oraz z powodu dużego kosztu obliczeniowego - już dla samego $m = 14$ obliczenia trwały kilka sekund.

Poniżej przedstawiamy wyniki na wspólnym wykresie, wraz z metodami z zadania 1.



Rysunek 2: Błąd względny metod numerycznego całkowania w zależności od liczby ewaluacji funkcji

Patrząc na uzyskany wykres widzimy, że wartości błędu kwadratury Gaussa-Legendre’a bardzo szybko zbiegają do wartości interpretowanych jako 0 (tzn. mniejszych niż dokładność reprezentacji `np.float64`). Z kolei dla wartości n rzędu 10^2 błąd numeryczny zaczyna odgrywać znaczącą rolę i osiąga bardzo podobny poziom co błędy innych metod - różnica jest taka, że jest on osiągany dla znacznie mniejszych wartości n .

4 Podsumowanie i wnioski

Podczas tego laboratorium eksperymentalnie zbadaliśmy różne metody numerycznego całkowania w celu obliczenia przybliżonej wartości liczby π oraz porównania ich skuteczności. W pierwszym zadaniu wykorzystaliśmy kwadratury złożone: metody prostokątów (midpoint), trapezów i Simpsona, analizując wpływ zmiany liczby ewaluacji funkcji podcałkowej na dokładność obliczeń. Wyniki pokazały, że metoda Simpsona wykazała się największą dokładnością, już dla niewielkiej liczby ewaluacji funkcji była ona niezwykle dokładna, a pozostałe metody zachowywały się podobnie, jeśli chodzi o błąd względny w zależności od liczby ewaluacji funkcji podcałkowej i na wykresie w skali logarytmicznej schodziły w zasadzie liniowo. Następnie, obliczyliśmy punkty gdzie wartości błędów względnych przyjęły minimum dla tych metod, co pozwoliło na wyznaczenie optymalnych wartości kroku h dla każdej z nich.

Analizując rzędy zbieżności metod doszliśmy do wniosku, że zarówno metoda prostokątów, jak i metoda trapezów dążą do rzędu zbieżności wynoszącego 2, co jest zgodne z teorią. Natomiast dla metody Simpsona, choć teoretycznie rząd zbieżności powinien być 4, otrzymane wyniki były bardziej podobne do ciągu dążącego do 6. To zjawisko może być związane z ograniczeniami precyzji obliczeń numerycznych. Również warto zwrócić uwagę na to, że nie byliśmy w stanie wyliczyć rzędu zbieżności metody Simpson’a dla wartości m większej od 7 dlatego, że błąd aproksymacji Simpson’a dla tych m czasami przyjmuje wartość 0.

W drugim zadaniu przetestowaliśmy metodę Gaussa-Legendre’a do obliczenia przybliżonej wartości π oraz przeprowadziliśmy analogiczną analizę błędu bezwzględnego w zależności od liczby ewaluacji funkcji podcałkowej, porównując wyniki z wcześniej badanymi metodami. Wykorzystanie tej metody, zwłaszcza przy użyciu odpowiednich bibliotek, pozwoliło osiągnąć bardzo dokładne wyniki nawet dla stosunkowo niewielkiej liczby węzłów. Jednak dla dużych wartości n błąd numeryczny stawał się znaczący i w połączeniu ze znacznie większym kosztem obliczeniowym, stosowanie tej metody może być zalecane tylko w przypadkach, gdy ilość ewaluacji funkcji podcałkowej jest stosunkowo mała (już dla $n \approx 10^4$ obliczenia zajmowały kilka sekund).

Podsumowując, eksperymenty wykazały, że metoda Gaussa-Legendre’a charakteryzowała się największą dokładnością w przypadku niewielkiej liczby ewaluacji funkcji, natomiast metoda Simpson’a mogła zapewnić dosyć dokładne wyniki w porównaniu do innych metod, zachowując przy tym stosunkowo niski koszt obliczeniowy, choć dla dużych wartości n błąd numeryczny okazał się znacząco podobny do błędu metody prostokątów i trapezów.

Literatura

- [1] Materiały pomocnicze do laboratorium zamieszczone na platformie Teams w katalogu *lab06/lab6-intro.pdf*.
- [2] Treść przedstawiona na wykładzie o kwadraturach.